

Starkniederschlagshöhen und -spenden gemäß KOSTRA-DWD-2020

Rasterfeld 142213

(Zeile 142, Spalte 213)

Regenspende und Bemessungsniederschlagswerte in Abhängigkeit von Wiederkehrzeit T und Dauerstufe D

| Dauerstufe D | | Wiederkehrzeit T | | | | | | | | | | | | | | | | | |
|--------------|-----|------------------|------------|------|------------|------|------------|------|------------|-------|------------|-------|------------|-------|------------|-------|------------|-------|------------|
| | | 1 a | | 2 a | | 3 a | | 5 a | | 10 a | | 20 a | | 30 a | | 50 a | | 100 a | |
| min | Std | mm | l / (s ha) | mm | l / (s ha) | mm | l / (s ha) | mm | l / (s ha) | mm | l / (s ha) | mm | l / (s ha) | mm | l / (s ha) | mm | l / (s ha) | mm | l / (s ha) |
| 5 | | 6,4 | 213,3 | 8,1 | 270,0 | 9,2 | 306,7 | 10,7 | 356,7 | 12,8 | 426,7 | 14,9 | 496,7 | 16,3 | 543,3 | 18,1 | 603,3 | 20,8 | 693,3 |
| 10 | | 8,7 | 145,0 | 11,1 | 185,0 | 12,6 | 210,0 | 14,6 | 243,3 | 17,4 | 290,0 | 20,3 | 338,3 | 22,2 | 370,0 | 24,7 | 411,7 | 28,3 | 471,7 |
| 15 | | 10,1 | 112,2 | 12,9 | 143,3 | 14,7 | 163,3 | 17,0 | 188,9 | 20,3 | 225,6 | 23,7 | 263,3 | 25,9 | 287,8 | 28,8 | 320,0 | 33,0 | 366,7 |
| 20 | | 11,2 | 93,3 | 14,3 | 119,2 | 16,2 | 135,0 | 18,7 | 155,8 | 22,4 | 186,7 | 26,2 | 218,3 | 28,6 | 238,3 | 31,8 | 265,0 | 36,5 | 304,2 |
| 30 | | 12,7 | 70,6 | 16,3 | 90,6 | 18,5 | 102,8 | 21,4 | 118,9 | 25,5 | 141,7 | 29,8 | 165,6 | 32,6 | 181,1 | 36,3 | 201,7 | 41,5 | 230,6 |
| 45 | | 14,4 | 53,3 | 18,4 | 68,1 | 20,8 | 77,0 | 24,1 | 89,3 | 28,8 | 106,7 | 33,6 | 124,4 | 36,8 | 136,3 | 40,9 | 151,5 | 46,9 | 173,7 |
| 60 | 1 | 15,6 | 43,3 | 19,9 | 55,3 | 22,6 | 62,8 | 26,2 | 72,8 | 31,3 | 86,9 | 36,5 | 101,4 | 39,9 | 110,8 | 44,4 | 123,3 | 50,9 | 141,4 |
| 90 | 1,5 | 17,4 | 32,2 | 22,3 | 41,3 | 25,3 | 46,9 | 29,3 | 54,3 | 35,0 | 64,8 | 40,8 | 75,6 | 44,7 | 82,8 | 49,7 | 92,0 | 56,9 | 105,4 |
| 120 | 2 | 18,9 | 26,3 | 24,1 | 33,5 | 27,3 | 37,9 | 31,6 | 43,9 | 37,8 | 52,5 | 44,1 | 61,3 | 48,3 | 67,1 | 53,7 | 74,6 | 61,5 | 85,4 |
| 180 | 3 | 21,0 | 19,4 | 26,8 | 24,8 | 30,4 | 28,1 | 35,2 | 32,6 | 42,0 | 38,9 | 49,1 | 45,5 | 53,7 | 49,7 | 59,8 | 55,4 | 68,4 | 63,3 |
| 240 | 4 | 22,6 | 15,7 | 28,9 | 20,1 | 32,8 | 22,8 | 37,9 | 26,3 | 45,3 | 31,5 | 52,9 | 36,7 | 57,9 | 40,2 | 64,4 | 44,7 | 73,7 | 51,2 |
| 360 | 6 | 25,1 | 11,6 | 32,1 | 14,9 | 36,4 | 16,9 | 42,1 | 19,5 | 50,3 | 23,3 | 58,7 | 27,2 | 64,2 | 29,7 | 71,5 | 33,1 | 81,9 | 37,9 |
| 540 | 9 | 27,8 | 8,6 | 35,6 | 11,0 | 40,4 | 12,5 | 46,7 | 14,4 | 55,8 | 17,2 | 65,1 | 20,1 | 71,3 | 22,0 | 79,3 | 24,5 | 90,8 | 28,0 |
| 720 | 12 | 29,9 | 6,9 | 38,3 | 8,9 | 43,4 | 10,0 | 50,2 | 11,6 | 60,0 | 13,9 | 70,1 | 16,2 | 76,7 | 17,8 | 85,3 | 19,7 | 97,7 | 22,6 |
| 1080 | 18 | 33,2 | 5,1 | 42,4 | 6,5 | 48,1 | 7,4 | 55,7 | 8,6 | 66,5 | 10,3 | 77,6 | 12,0 | 85,0 | 13,1 | 94,5 | 14,6 | 108,3 | 16,7 |
| 1440 | 24 | 35,7 | 4,1 | 45,6 | 5,3 | 51,8 | 6,0 | 59,9 | 6,9 | 71,5 | 8,3 | 83,5 | 9,7 | 91,4 | 10,6 | 101,7 | 11,8 | 116,4 | 13,5 |
| 2880 | 48 | 42,5 | 2,5 | 54,3 | 3,1 | 61,7 | 3,6 | 71,3 | 4,1 | 85,1 | 4,9 | 99,4 | 5,8 | 108,8 | 6,3 | 121,1 | 7,0 | 138,6 | 8,0 |
| 4320 | 72 | 47,1 | 1,8 | 60,2 | 2,3 | 68,3 | 2,6 | 78,9 | 3,0 | 94,3 | 3,6 | 110,1 | 4,2 | 120,5 | 4,6 | 134,1 | 5,2 | 153,5 | 5,9 |
| 5760 | 96 | 50,6 | 1,5 | 64,7 | 1,9 | 73,4 | 2,1 | 84,9 | 2,5 | 101,4 | 2,9 | 118,4 | 3,4 | 129,5 | 3,7 | 144,1 | 4,2 | 165,1 | 4,8 |
| 7200 | 120 | 53,5 | 1,2 | 68,4 | 1,6 | 77,6 | 1,8 | 89,8 | 2,1 | 107,2 | 2,5 | 125,2 | 2,9 | 137,0 | 3,2 | 152,5 | 3,5 | 174,6 | 4,0 |
| 8640 | 144 | 56,0 | 1,1 | 71,6 | 1,4 | 81,3 | 1,6 | 94,0 | 1,8 | 112,2 | 2,2 | 131,1 | 2,5 | 143,4 | 2,8 | 159,6 | 3,1 | 182,8 | 3,5 |
| 10080 | 168 | 58,2 | 1,0 | 74,5 | 1,2 | 84,5 | 1,4 | 97,7 | 1,6 | 116,7 | 1,9 | 136,3 | 2,3 | 149,1 | 2,5 | 165,9 | 2,7 | 190,0 | 3,1 |

Starkniederschlagshöhen und -spenden gemäß KOSTRA-DWD-2020

Rasterfeld 142213

(Zeile 142, Spalte 213)

Örtliche Unsicherheiten in Abhängigkeit von Wiederkehrzeit T und Dauerstufe D

| Dauerstufe D | | Wiederkehrzeit T | | | | | | | | |
|--------------|-----|------------------|-----|-----|-----|------|------|------|------|-------|
| | | 1 a | 2 a | 3 a | 5 a | 10 a | 20 a | 30 a | 50 a | 100 a |
| min | Std | ± % | ± % | ± % | ± % | ± % | ± % | ± % | ± % | ± % |
| 5 | | 14 | 14 | 14 | 15 | 15 | 16 | 16 | 16 | 16 |
| 10 | | 15 | 16 | 17 | 18 | 18 | 19 | 20 | 20 | 21 |
| 15 | | 16 | 18 | 19 | 20 | 21 | 21 | 22 | 22 | 23 |
| 20 | | 17 | 19 | 20 | 21 | 22 | 23 | 23 | 24 | 24 |
| 30 | | 18 | 20 | 21 | 22 | 23 | 24 | 24 | 25 | 25 |
| 45 | | 18 | 20 | 21 | 22 | 23 | 24 | 25 | 25 | 26 |
| 60 | 1 | 18 | 20 | 21 | 22 | 23 | 24 | 25 | 25 | 26 |
| 90 | 1,5 | 17 | 20 | 21 | 22 | 23 | 24 | 24 | 25 | 25 |
| 120 | 2 | 17 | 19 | 20 | 21 | 22 | 23 | 24 | 24 | 25 |
| 180 | 3 | 16 | 18 | 19 | 20 | 21 | 22 | 23 | 23 | 24 |
| 240 | 4 | 16 | 18 | 19 | 20 | 21 | 22 | 22 | 23 | 23 |
| 360 | 6 | 15 | 17 | 18 | 19 | 20 | 21 | 21 | 22 | 22 |
| 540 | 9 | 15 | 16 | 17 | 18 | 19 | 20 | 20 | 21 | 21 |
| 720 | 12 | 15 | 16 | 17 | 18 | 19 | 19 | 20 | 20 | 21 |
| 1080 | 18 | 15 | 16 | 17 | 17 | 18 | 19 | 19 | 20 | 20 |
| 1440 | 24 | 15 | 16 | 17 | 17 | 18 | 19 | 19 | 20 | 20 |
| 2880 | 48 | 17 | 17 | 18 | 18 | 19 | 19 | 19 | 20 | 20 |
| 4320 | 72 | 18 | 18 | 18 | 19 | 19 | 20 | 20 | 20 | 20 |
| 5760 | 96 | 19 | 19 | 19 | 19 | 20 | 20 | 20 | 20 | 21 |
| 7200 | 120 | 20 | 20 | 20 | 20 | 20 | 21 | 21 | 21 | 21 |
| 8640 | 144 | 21 | 21 | 21 | 21 | 21 | 21 | 21 | 21 | 22 |
| 10080 | 168 | 22 | 21 | 21 | 21 | 21 | 22 | 22 | 22 | 22 |

Parameter für abweichende T und D

Lokationsparameter ξ (Xi)

16,09639074

Skalenparameter α (Alpha)

6,22628345

Formparameter κ (Kappa)

-0,1

1. Koutsoyiannis-Parameter θ (Theta)

0,0414301

2. Koutsoyiannis-Parameter η (Eta)

0,74880721

Parameter für dauerstufenübergreifende Extremwertschätzung nach KOUTSOYIANNIS et al. 1998.

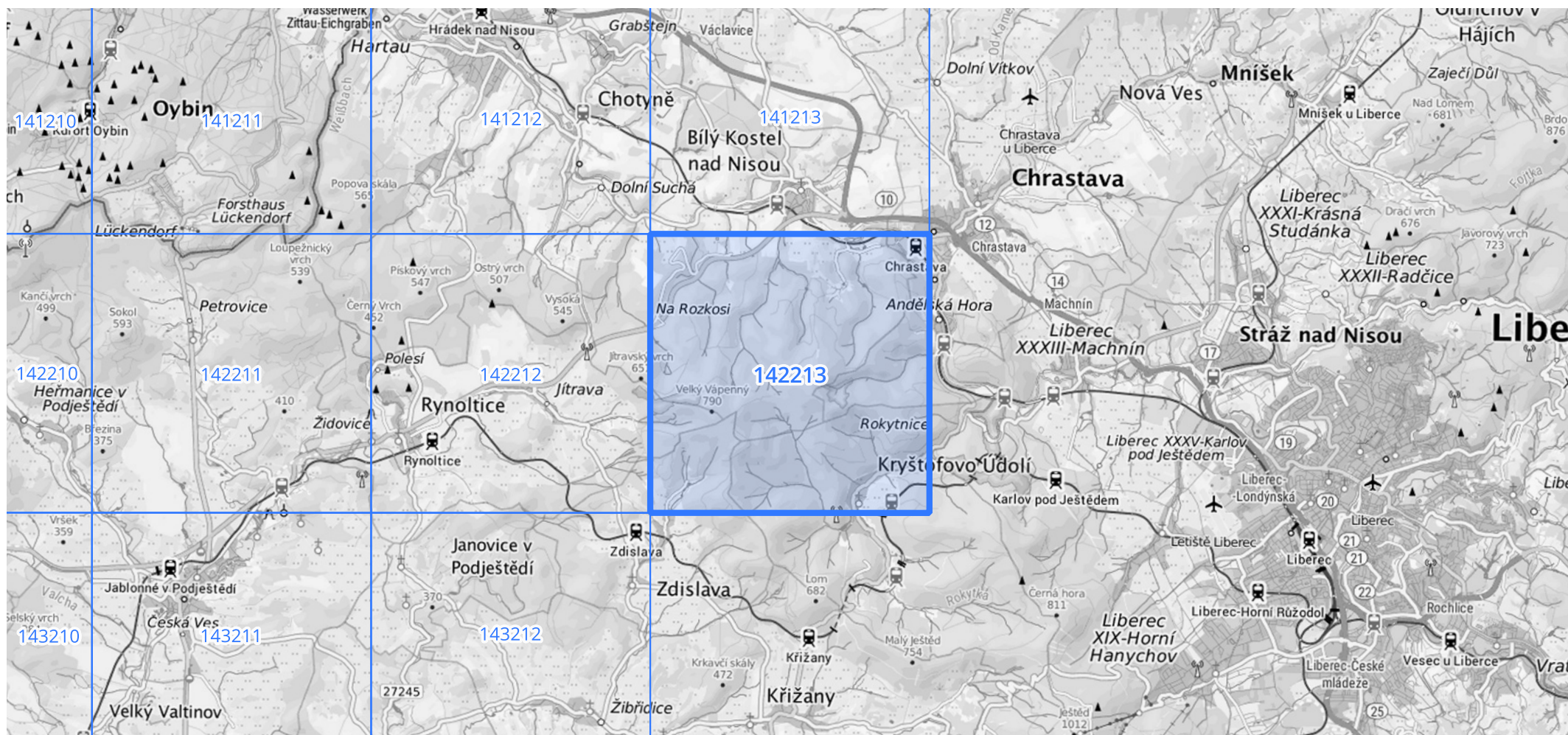
Siehe auch Anwendungshilfe zu KOSTRA-DWD-2020 des Deutschen Wetterdienstes.

Starkniederschlagshöhen und -spenden gemäß KOSTRA-DWD-2020

Rasterfeld 142213

(Zeile 142, Spalte 213)

Übersichtskarte des Rasterfeldes 142213, M 1 : 100 000



Quelle Rasterdaten: KOSTRA-DWD-2020 des Deutschen Wetterdienstes, Stand 12/2022.

Seite 3 von 3

Kartendarstellung: © Bundesamt für Kartographie und Geodäsie (2023), Datenquellen: https://sgx.geodatenzentrum.de/web_public/gdz/datenquellen/Datenquellen_TopPlusOpen.html

Für die Richtigkeit und Aktualität der Angaben wird keine Gewähr übernommen. Erstellt 01/2023.